

彈性薄殼靜力學

A. И. 魯利叶著

高等 教育 出 版 社

彈性薄壳靜力学

A. H. 魯利叶著

范增生 合譯
包世華

高等~~教~~出版社

本書系根据苏联国立技术理論書籍出版社(Государственное издательство технико-теоретической литературы)出版的魯利叶(A. И. Лурье)所著“彈性薄壳靜力学”(Статика тонкостенных упругих оболочек)1947年版譯出。

本書講述彈性薄壳小变形理論，是著者長期研究的成果，內容偏重于工程上最常用的旋轉薄壳及柱形薄壳。書中所述，深入淺出。在建立薄壳基本理論時，从一般彈性理論出發，詳尽地分析薄壳中各種因素的主次影响，从而忽略次要因素，建立合理的近似理論；因此，本書在薄壳基本方程式的建立及求解方面，有其獨到之处。

本書可供土建类院校的高年級学生、科学工作者及有关工程技术人员作为研究薄壳理論的参考書。

彈性薄壳靜力学

A. И. 魯利叶著

范培生 包世华譯

高等教育出版社出版北京宣武門內承恩寺7号

(北京書刊出版業營業執照字第054號)

京華印書局印刷 新華書店發行

統一書號15010·721 開本850×1168 1/22 印張8 6/16
字數213,000 印數0001—2,500 定價(10)元1.30
1958年10月第1版 1958年10月10日北京第1次印刷

序

壳体理論是应用彈性理論中很現實的一部分。帶頂鍋爐、潛水艇外殼、渦輪鼓風機輪葉、大廈穹頂、炸彈外殼、蒸汽透平机的汽缸等等都是薄壳。所以我們並不奇怪，为什么在現代建筑与机械制造工程中，要把壳体視作結構的重要部分，并把主要任务归結为壳体的計算問題。我們覺得，壳体所处的这种地位，就說明了需要有專門討論彈性薄壳靜力学的文献。壳体理論方面的文献非常丰富，書末所附的文献索引簡目并不完备，只不过是作者对之或多或少了解一些的而已。

作者並不企圖在本書中包罗一切有关的問題，比如我們就根本沒涉及到壳体的稳定性問題，但却保留了一章討論壳体一般理論的建立。最近一时期有許多苏联文献都是关于这一方面的。在所有大量壳体理論的素材中，我們决定只研究最簡單而实际上却是最重要的問題，即对称加載的旋轉壳体和任意加載的柱形壳体。我們將尽可能严格与完整地來講述这些素材。这里所謂“严格”，絕不是形式的精确，而是指結果所达到的精度与假設相适应。在这方面，我們的作法与習慣上常用的有很大区别，后者往往忽略了对建立基本微分方程式的原始情形进行討論，而过多地注意了寻求这些方程式的准确积分。我們所据的理由是，解的精度不应超过原始假設的精度。所以本書中广泛地应用了漸近积分法，并只取漸近展开式的第一項，这就使我們有可能得到一系列不太复杂的計算結果。

所以本書很大程度上是在爭取实现这一方向，力求在各种情况下避免使用不必要的超几何級数及其他級数。

本書不管在壳体理論的理論問題方面还是实际計算方面，都

是作者長期艰苦劳动的結果，后者更是由于某些科学研究所和設計院的倡議，作者近年来所进行的工作，目的是使我們的設計工程师和科学工作者們得到的不是方案的彙編，而是各种方法的綜合，以帮助深入了解許多重要結構物主要部件計算問題的本質。

对本書有过帮助的同志，特別是工程师 A. K. 包杜諾夫(Бодунов)花費了許多精力來校核大部分計算，技术科学副博士 Г. Д. 阿南諾夫(Ананов)为本書作插圖，作者認為应对他們表示愉快而深刻的謝意。

作 者 1946 年 3 月

目 录

序	v
第一章 彈性旋轉壳体对称加载时的平衡方程式	1
§ 1. 旋轉面的几何要素	1
§ 2. 旋轉面的对称变形	6
§ 3. 旋轉壳体的几何关系与变形	9
§ 4. 旋轉壳体对称加载时的应力状态	13
§ 5. 壳体体素的靜力学方程式	17
§ 6. 壳体体素的靜力学方程式	19
§ 7. 变形与应力的关系	24
§ 8. 旋轉壳体对称加载时的基本微分方程式	29
§ 9. 薄壳理論基本微分方程式的积分・边界条件与联結条件	34
§ 10. 壳体理論齐次微分方程式的解的性質・壳体应力状态的特点	39
§ 11. 旋轉壳体中的溫度应力	44
第二章 簡單几何形狀的壳体及其基本微分方程式的解	49
§ 1. 柱形薄壳对称加载时的平衡微分方程式	49
§ 2. 長圓柱形壳体的解	54
§ 3. 短圓柱形壳体的解	63
§ 4. 圓錐形壳体・非齐次微分方程組的特解	75
§ 5. 圓錐形壳体齐次方程式的解	79
§ 6. 圓錐形壳体的計算例題	91
§ 7. 圓球形壳体・非齐次微分方程組的特解	106
§ 8. 球形壳体齐次方程組的解	110
§ 9. 閉球形壳体問題的解	118
§ 10. 圓球形屋頂頂上加集中力	129
§ 11. 小初曲率的圓板	133
第三章 对称加载旋轉壳体基本微分方程式的近似解	143
§ 1. 經綫截面的三种形式	143
§ 2. 圆柱类壳体	147
§ 3. 圆錐类壳体	164
§ 4. 圆球类壳体	166

第四章 任意加载的柱形壳体	179
§ 1. 柱面的几何要素及柱面的变形	179
§ 2. 壳体的变形	185
§ 3. 应力与变形的联系·壳体体素的平衡方程式	190
§ 4. 位移函数	197
§ 5. 双三角级数解法·柱形薄拱及柱形管	202
§ 6. 单三角级数解法·柱形管	209
§ 7. 柱形薄拱	224
§ 8. 复变数应力函数	238
§ 9. 圆柱面上孔边应力的集中	241

附录:

关于第一章	251
关于第二章	255
关于第三章	258
关于第四章	259

第一章 彈性旋轉壳体对称 加载时的平衡方程式

§ 1. 旋轉面的几何要素 为了說明以后应用的符号, 避免重複, 并使讀者不必查閱專門文献, 本节中將尽可能簡要地推証曲面理論的基本公式, 这些公式只适用于旋轉面的特殊情形。

將曲面的旋轉軸作为 z 軸, 并用單位向量 \mathbf{k} 表示它的方向。曲面上任意一点 M 的位置(圖 1)可用以下三种方法来确定: 1) 用右手不动坐标系 $Oxyz$ 中的笛卡尔坐标 x, y, z , 坐标軸的正方向分別相应于單位向量 $\mathbf{i}, \mathbf{j}, \mathbf{k}$; 2) 用圓柱坐标 v, φ, z , 其中用 $v = \sqrt{x^2 + y^2}$ 表示由 M 点到旋轉軸的距离 $\overline{M_1M}$, 用 φ 表示通过 M 点及旋轉軸的平面

(經綫平面) 的方位角, φ 由 zx 平面向 zy 平面計量; 3) 用曲面上点的高斯坐标, 以同样的方位角 φ 及以沿經綫(由某一初始点 M_0 起算)的弧長 s 作为坐标: $s = \widehat{M_0M}$ 。

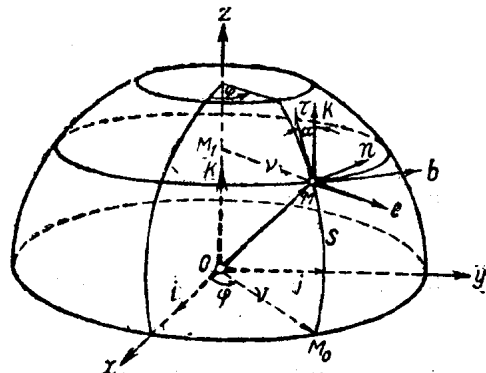


圖 1. 旋轉面上的坐标方向。

在这一坐标系中, 曲綫 $\varphi = \text{const.}$ 是曲面的經綫, $s = \text{const.}$ 是緯綫。

用 $\mathbf{r} = \overrightarrow{OM}$ 表示曲面上 M 点的向徑:

$$\mathbf{r} = xi + yj + zk. \quad (1.1.1)$$

注意到 $x = v \cos \varphi$, $y = v \sin \varphi$, 并引入 $\overrightarrow{M_1M}$ 方向的單位向

量：

$$\mathbf{e} = \mathbf{i} \cos \varphi + \mathbf{j} \sin \varphi, \quad (1.1.2)$$

也可以写成： $\mathbf{r} = \nu \mathbf{e} + \mathbf{k} z, \quad (1.1.3)$

經綫方程可以写成参数式：

$$\nu = \nu(s), \quad z = z(s); \quad (1.1.4)$$

或直接关系式： $\nu = \nu(z). \quad (1.1.5)$

再引入互相正交的 $\mathbf{b}, \tau, \mathbf{n}$ 三軸所組成的三面体，其頂点在 M ；用 \mathbf{b} 表示指向 φ 增加方向緯綫切綫單位向量，用 τ 表示指向 s 增加方向的經綫切綫單位向量，用 \mathbf{n} 表示曲面的法綫單位向量；則有：

$$\mathbf{n} = \mathbf{b} \times \tau. \quad (1.1.6)$$

由于曲綫的切綫單位向量等于向徑 \mathbf{r} 对弧長的导数，而經綫的綫素为 ds ，緯綫的綫素为 $\nu d\varphi$ ，故可得

$$\tau = \frac{\partial \mathbf{r}}{\partial s}, \quad \mathbf{b} = \frac{1}{\nu} \frac{\partial \mathbf{r}}{\partial \varphi}.$$

以后我們約定：用点(•)表示对 s 求导数，用撇(')表示对 φ 求导数，则：

$$\tau = \dot{\mathbf{r}}, \quad \mathbf{b} = \frac{1}{\nu} \mathbf{r}'. \quad (1.1.7)$$

由(1.1.3)得到：

$$\tau = \mathbf{e} \nu + \mathbf{k} z, \quad \mathbf{b} = \mathbf{e}'. \quad (1.1.8)$$

用 α 表示向量 τ 与 z 軸間的夾角，则：

$$\tau = -\mathbf{e} \sin \alpha + \mathbf{k} \cos \alpha; \quad (1.1.9)$$

以之与(1.1.8)的第一式比較，得到：

$$\nu = -\sin \alpha, \quad z = \cos \alpha. \quad (1.1.10)$$

这些公式确定了角度 α ；若 M 点沿經綫往弧長 s (或坐标 z) 增加的方向移动，则当 ν 减少时 $\alpha > 0$ ， ν 增大时 $\alpha < 0$ ，并且 $-\frac{\pi}{2} \leqslant \alpha \leqslant \frac{\pi}{2}$ 。

設 $\tilde{\mathbf{n}}$ 是經綫主法綫的單位向量， $\frac{1}{\rho}$ 表示經綫的曲率，按照

著名的富列耐公式，有：

$$\tau = \frac{1}{\rho} \tilde{n}. \quad (1.1.11)$$

另一方面， $\tilde{n} = \varepsilon n$ ，若經綫凹向 z 軸取 $\varepsilon = -1$ ，若凸向 z 軸取 $\varepsilon = +1$ （圖 2, a 及 b）；由（1.1.6）及（1.1.9）得：

$$n = -(\mathbf{b} \times \mathbf{e}) \sin \alpha + (\mathbf{b} \times \mathbf{k}) \cos \alpha = \mathbf{k} \sin \alpha + \mathbf{e} \cos \alpha. \quad (1.1.12)$$

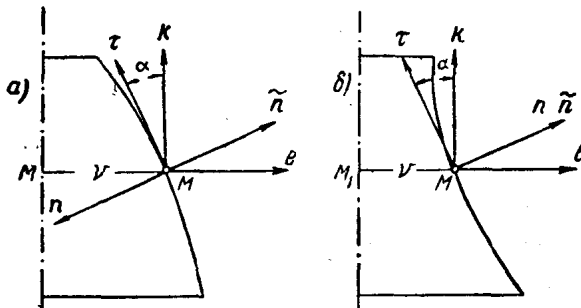


圖 2. 旋轉曲面的經綫截面：
a) 經綫凹向旋轉軸；b) 經綫凸向旋轉軸。

而由（1.1.9）及（1.1.11）：

$$\frac{\varepsilon}{\rho} n = -(\mathbf{e} \cos \alpha + \mathbf{k} \sin \alpha) \dot{\alpha}; \quad (1.1.13)$$

所以： $\dot{\alpha} = -\frac{\varepsilon}{\rho}, \quad \tau = -\dot{\alpha} n. \quad (1.1.14)$

現在對可動三面體施用機動法：先假設， $\mathbf{b}, \tau, \mathbf{n}$ 三面體的頂點 M 以速度 $v = \tau$ 運動，即以沿經綫的單位速度 ($ds = dt$) 運動；此時三面體將以角速度 $\omega_1 = \left| \frac{d\alpha}{dt} \right| = |\dot{\alpha}|$ 旋轉， ω_1 當上述第一種情形時 ($\varepsilon = -1$ 時) 與 \mathbf{b} 反向，第二種情形時 ($\varepsilon = 1$ 時) 指向 \mathbf{b} ；即：

$$\omega_1 = -\mathbf{b} \cdot \dot{\alpha}. \quad (1.1.15)$$

如果再令 $\mathbf{b}, \tau, \mathbf{n}$ 三面體的頂點 M 以速度 $v = \mathbf{b}$ 運動，即以沿緯綫的單位速度 ($dt = v d\varphi$) 運動，則三面體將以角速度 $\omega_2 = \frac{d\varphi}{dt} =$

$= \frac{1}{\nu}$ 旋轉, ω_2 指向 z 軸:

$$\omega_2 = \frac{1}{\nu} k. \quad (1.1.16)$$

設 a 是一個與 b, τ, n 三面體保持不變關係的常向量; 當三面體作前述的運動時, 此向量對弧長的導數可視作向量端點相對於三面體頂點的速度; 按剛體運動學中著名的公式, 得到:

$$\frac{\partial a}{\partial s} = \omega_1 \times a, \quad \frac{\partial a}{\nu \partial \varphi} = \omega_2 \times a$$

或

$$a' = -\dot{\alpha}(b \times a), \quad a' = k \times a. \quad (1.1.17)$$

應用於向量 τ, n, b , 就得到旋轉曲面的基本偏導數公式:

$$\left. \begin{aligned} \tau' &= -\dot{\alpha}(b \times \tau) = -\alpha n, & \tau' &= k \times \tau = -b \sin \alpha, \\ n' &= -\dot{\alpha}(b \times n) = \dot{\alpha} \tau, & n' &= k \times n = b \cos \alpha, \\ b' &= -\dot{\alpha}(b \times b) = 0, & b' &= k \times b = -e \\ &&&= \tau \sin \alpha - n \cos \alpha. \end{aligned} \right\} \quad (1.1.18)$$

現在來研究旋轉面上曲線的曲率。在曲面上取一方向, 用與 τ, b 兩軸成夾角分別為 λ 及 $\frac{\pi}{2} - \lambda$ 的單位向量 l 表示(圖 3):

$$l = \tau \cos \lambda + b \sin \lambda. \quad (1.1.19)$$

曲面上與 l 正交的方向確定於單位向量:

$$m = -\tau \sin \lambda + b \cos \lambda. \quad (1.1.20)$$

用 $d\sigma$ 表示 l 方向的綫素; 有

$$\cos \lambda = \frac{ds}{d\sigma}, \quad \sin \lambda = \nu \frac{d\varphi}{d\sigma}. \quad (1.1.21)$$

計算導數 $\frac{dl}{d\sigma}$:

$$\begin{aligned} \frac{dl}{d\sigma} &= \frac{d\tau}{d\sigma} \cos \lambda + \frac{db}{d\sigma} \sin \lambda + (-\tau \sin \lambda + \\ &\quad + b \cos \lambda) \frac{d\lambda}{d\sigma} = \cos \lambda \left(\tau \cos \lambda + \tau' \frac{\sin \lambda}{\nu} \right) + \\ &\quad + \sin \lambda \left(b \cos \lambda + b' \frac{\sin \lambda}{\nu} \right) + \frac{d\lambda}{d\sigma} m, \end{aligned}$$

利用偏导数公式(1.1.18), 得:

$$\begin{aligned} \frac{dl}{d\sigma} = & - \left(\dot{\alpha} \cos^2 \lambda + \frac{\cos \alpha}{\nu} \sin^2 \lambda \right) \mathbf{n} + \\ & + \left(\frac{d\lambda}{d\sigma} - \frac{\sin \alpha}{\nu} \sin \lambda \right) \mathbf{m}. \end{aligned} \quad (1.1.22)$$

我們來研究曲面的法截面, 也就是通過 l 及曲面的法線 \mathbf{n} 所引平面在曲面上截得的平面曲線。交線的主法線向量 \mathbf{n}^* 與曲面的法線 \mathbf{n} 共線: $\mathbf{n}^* = \varepsilon' \mathbf{n}$, 式中 ε' $= +1$ 或 -1 ; 若用 $\frac{1}{\rho_t}$ 表示法截線的曲率, 那麼按著名的富列耐公式:

$$\frac{dl}{d\sigma} = \frac{1}{\rho_t} \mathbf{n}^* = \frac{\varepsilon'}{\rho_t} \mathbf{n}. \quad (1.1.23)$$

同(1.1.22)比較, 求得:

$$\left. \begin{aligned} \frac{\varepsilon'}{\rho_t} &= -\dot{\alpha} \cos^2 \lambda - \frac{\cos \alpha}{\nu} \sin^2 \lambda; \\ \frac{d\lambda}{d\sigma} - \frac{\sin \alpha}{\nu} \sin \lambda &= 0. \end{aligned} \right\} \quad (1.1.24)$$

這是曲面理論中著名的定則, 由其中第一式求得相應于 $\lambda = 0$ (經線) 及 $\lambda = \frac{\pi}{2}$ (緯線) 的主法截面的曲率為:

$$\frac{1}{\rho_1} = -\varepsilon' \dot{\alpha}, \quad \frac{1}{\rho_2} = -\varepsilon' \frac{\cos \alpha}{\nu}. \quad (1.1.25)$$

在第一式中, 當圖 2a 情形時取 $\varepsilon' = -1$, 而當圖 2b 情形時取 $\varepsilon' = +1$; 對於通過緯線的法截面, 任何情形都取 $\varepsilon' = -1$ 。

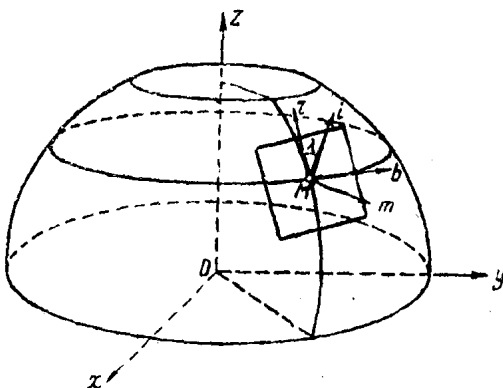


圖 3. 旋轉曲面的切平面及其上的方向。

量值:

$$\frac{1}{R_1} = \dot{\alpha}, \quad \frac{1}{R_2} = \frac{\cos \alpha}{\nu} \quad (1.1.26)$$

叫做曲面的主曲率, 显然当圖 2a 的情形时($\varepsilon' = -1$):

$$\frac{1}{R_1} = \frac{1}{\rho_1}, \quad \frac{1}{R_2} = \frac{\cos \alpha}{\nu},$$

当圖 2b 的情形时:

$$\frac{1}{R_1} = -\frac{1}{\rho_1}, \quad \frac{1}{R_2} = \frac{\cos \alpha}{\nu}.$$

最后, 順便提一下以后常用的公式:

$$\left(\frac{1}{R_2}\right)' = \left(\frac{\cos \alpha}{\nu}\right)' = -\left(\frac{1}{R_1} - \frac{1}{R_2}\right) \frac{\sin \alpha}{\nu}, \quad (1.1.27)$$

此式由(1.1.10)及(1.1.26)推出。

§ 2. 旋轉面的对称变形 我們研究曲面保持为旋轉面时的变形。变形时, 曲面上的点仍然在原来的經綫平面內移动; 点的位移也都在各經綫平面內。

用 u, w 表示位移向量 \mathbf{u} 在 τ , n 軸上的分量(圖 4), 用 ξ, ζ 表示在 e, k 軸上的分量; 按照所述, u 及 w 与 φ 無关, 并且 u 在 b 方向的分量等于零:

$$\mathbf{u} = u\tau + w\mathbf{n} = \xi\mathbf{e} + \zeta\mathbf{k}, \quad (1.2.1)$$

圖 4. 变形前后旋轉曲面的經綫截面:

M_0 — 变形前經綫;

M'_0 — 变形后經綫。

变形后 M 点移到了 M' 位置, M' 确定于矢量半徑

$$\mathbf{r}_* = \mathbf{r} + \mathbf{u}.$$

研究 \mathbf{r}_* 沿变形后的曲面所作的無限小的移动:

$$d\mathbf{r}_* = d\mathbf{r} + d\mathbf{u} = (\dot{\mathbf{r}} + \dot{\mathbf{u}})ds + (\mathbf{r}' + \mathbf{u}')d\varphi.$$

利用(1.1.7)和偏导数公式(1.1.18), 以及(1.1.26)得:

$$d\mathbf{r}_* = \tau \, ds(1 + \varepsilon_1) + \vartheta \mathbf{n} \, ds + \mathbf{b} \nu (1 + \varepsilon_2) d\varphi. \quad (1.2.2)$$

式中引用了符号:

$$\varepsilon_1 = \dot{u} + \frac{w}{R_1}, \quad \varepsilon_2 = \frac{1}{\nu} (-u \sin \alpha + w \cos \alpha), \quad \vartheta = \dot{w} - \frac{u}{R_1}. \quad (1.2.3)$$

特别是沿經綫移动时($d\varphi = 0$), 得到:

$$d\mathbf{r}_* = \tau \, ds(1 + \varepsilon_1) + \vartheta \mathbf{n} \, ds. \quad (1.2.4)$$

由此求得变形后經綫的弧長:

$$ds_* = |d\mathbf{r}_*| = \sqrt{(1 + \varepsilon_1)^2 + \vartheta^2} \, ds.$$

我們只研究微小的变形, 亦即假設 $\varepsilon_1, \varepsilon_2, \vartheta$ 很小, 因而:

$$ds_* = (1 + \varepsilon_1) ds, \quad (1.2.5)$$

由此可見, ε_1 是变形时經綫綫素的伸長率; 当对 $\varepsilon_1, \varepsilon_2, \vartheta$ 有相同的假設时, 我們就求得 τ_* (变形后曲面經綫的切綫單位向量)为:

$$\tau_* = \frac{d\mathbf{r}_*}{ds_*} = \tau + \vartheta \mathbf{n}. \quad (1.2.6)$$

当沿着緯綫移动时, $ds = 0$ 并由(1.2.2)求得:

$$d\mathbf{r}_* = \mathbf{b} \nu \, d\varphi (1 + \varepsilon_2); \quad (1.2.7)$$

由此可和上面同样地求得变形后緯綫的弧長:

$$\nu_* d\varphi = \nu \, d\varphi (1 + \varepsilon_2). \quad (1.2.8)$$

所以, ε_2 是緯綫綫素的伸長率, 变形后曲面上的向量 \mathbf{b}_* 为:

$$\mathbf{b}_* = \frac{\partial \mathbf{r}_*}{\nu_* \partial \varphi} = \mathbf{b}, \quad (1.2.9)$$

当然这是必然的結果。再求变形后曲面的法綫單位向量:

$$\mathbf{n}_* = \mathbf{b}_* \times \tau_* = \mathbf{b} \times (\tau + \vartheta \mathbf{n}) = \mathbf{n} - \tau \vartheta. \quad (1.2.10)$$

公式(1.2.10)及(1.2.6)表明: 变形后經綫的切綫与曲面旋轉軸 z 間的夾角为:

$$\alpha_* = \alpha - \vartheta. \quad (1.2.11)$$

設以 $\left(\frac{1}{R_1}\right)^*$, $\left(\frac{1}{R_2}\right)^*$ 表示变形后曲面的主曲率; 由公式(1.1.26)有:

$$\left(\frac{1}{R_1}\right)^* = \frac{d\alpha_*}{ds_*}, \quad \left(\frac{1}{R_2}\right)^* = \frac{\cos \alpha_*}{\nu_*}. \quad (1.2.12)$$

由(1.2.11)及(1.2.5), 略去高阶微量, 得到,

$$\left(\frac{1}{R_1}\right)^* = \frac{d(\alpha - \vartheta)}{ds} \frac{ds}{ds_*} = \frac{1}{1 + \varepsilon_1} \left(\frac{d\alpha}{ds} - \frac{d\vartheta}{ds} \right) = \frac{1 - \varepsilon_1}{R_1} - \frac{d\vartheta}{ds}. \quad (1.2.13)$$

再由(1.2.11)及(1.2.8)求得:

$$\left(\frac{1}{R_2}\right)^* = \frac{\cos(\alpha - \vartheta)}{\nu(1 + \varepsilon_2)} = \frac{1 - \varepsilon_2}{R_2} + \frac{\vartheta \sin \alpha}{\nu}. \quad (1.2.14)$$

量值: $\kappa_1 = -\dot{\vartheta}, \quad \kappa_2 = \vartheta \frac{\sin \alpha}{\nu}$ (1.2.15)

表示变形时曲面主曲率的改变量, 称之为曲率增量。

回到(1.2.1)式, 利用(1.1.12)求得

$$\xi = -u \sin \alpha + w \cos \alpha, \quad \zeta = u \cos \alpha + w \sin \alpha. \quad (1.2.16)$$

并由(1.2.3)的第二式, 最后求得简明的关系式:

$$\xi = \nu \varepsilon_2. \quad (1.2.17)$$

再将(1.2.1)对 s 求导数, 得:

$$\dot{\mathbf{u}} = (\mathbf{e}\xi)' + (\mathbf{k}\zeta)' = (\tau u + n w)'.$$

利用偏导数公式(1.1.18), 以及(1.2.4), (1.1.9)和(1.1.12), 得到:

$$\dot{\xi} = -\varepsilon_1 \sin \alpha + \vartheta \cos \alpha, \quad \dot{\zeta} = \varepsilon_1 \cos \alpha + \vartheta \sin \alpha. \quad (1.2.18)$$

由此式的第一式和(1.2.17), 可得出对以后非常重要的, 三个(表明曲面变形的)量值 $\varepsilon_1, \varepsilon_2, \vartheta$ 之间的关系为:

$$\begin{aligned} (\nu \varepsilon_2)' &= -\varepsilon_1 \sin \alpha + \vartheta \cos \alpha \text{ 或 } \nu \dot{\varepsilon}_2 = \\ &= (\varepsilon_2 - \varepsilon_1) \sin \alpha + \vartheta \cos \alpha. \end{aligned} \quad (1.2.19)$$

按照给定的变形, 由公式(1.2.17)及(1.2.18)求得位移 ξ 及 ζ 为:

$$\zeta = \zeta_0 + \int_{s_0}^s (\varepsilon_1 \cos \alpha + \vartheta \sin \alpha) ds. \quad (1.2.20)$$

式中 ζ_0 是确定曲面位移的常数, 此位移不引起沿旋轉軸方向的变形。

§ 3. 旋轉壳体的几何关系与变形 前面我們用高斯坐标 s, φ 确定曲面上任意一点的位置(§ 1), 現在由基本曲面鄰近空間的任意一点 N 向基本曲面作法綫綫段 \overline{MN} , 則 N 点的位置就能够由三个数值 s, φ, x 来确定, 此处 $x = \overline{MN}$ 或 $x = -\overline{MN}$, 完全决定于 N 点在基本曲面的那一面(与法綫同向或是相反), s, φ, x 可看作 N 点的曲綫坐标。任一 $x = x_0 = \text{const.}$ 点的轨迹是一与基本曲面等距离的旋轉面(平行曲面); 平面 $\varphi = \varphi_0 = \text{const.}$ 是所研究物体的一个經綫截面; 曲面 $s = s_0 = \text{const.}$ 是一个开角为 $2\alpha(s_0)$ (見 § 1)的圓錐面, 圓錐頂点在旋轉軸上, 錐面与曲面 $x = \text{const.}$ 正交。界于两个曲面 $x = f_1(s)$, $x = f_2(s)$ 及两个圓錐面 $s = s_0, s = s_1$ 间的物体称为壳体。当 $f_1 = -\frac{h}{2}, f_2 = \frac{h}{2} = \text{const.}$ 时是等厚度(h)壳体; 当 $f_1 = \frac{1}{2}h(s), f_2 = -\frac{1}{2}h(s)$ 时壳体厚度沿經綫截面变化; 这两种情形, 基本曲面都通过壳体内外界面的中央, 因之称为中間面。以后我們將研究具有中間面的壳体, 并將認為厚度 h 比起壳体的其他尺寸来是十分小的。

用 \mathbf{R} 表示 N 点的向徑, 用 \mathbf{r} 表示 M 点的向徑(与 § 1 相同); 則有:

$$\mathbf{R} = \mathbf{r} + \mathbf{n}x. \quad (1.3.1)$$

写出在曲綫坐标 s, φ, x 中表示綫性綫素長度平方的式子:
 $d\sigma^2 = |\mathbf{dR}|^2$ 。由公式(1.1.7), (1.1.8)得到:

$$d\mathbf{R} = \tau \left(1 + \frac{x}{R_1} \right) ds + \nu b \left(1 + \frac{x}{R_2} \right) d\varphi + \mathbf{n} dx, \quad (1.3.2)$$

所以 $d\sigma^2 = \left(1 + \frac{x}{R_1} \right)^2 ds^2 + \left(1 + \frac{x}{R_2} \right)^2 \nu^2 d\varphi^2 + dx^2. \quad (1.3.3)$

特別是曲面 $x = \text{const.}$ 的經綫和緯綫的綫素分別为:

$$d\sigma_1 = \left(1 + \frac{x}{R_1} \right) ds, \quad d\sigma_2 = \left(1 + \frac{x}{R_2} \right) \nu d\varphi. \quad (1.3.4)$$

还要注意到，若用 $\mathbf{T}, \mathbf{B}, \mathbf{N}$ 分別表示曲面 $x=\text{const.}$ 的經綫、緯綫的切綫方向和法綫方向的單位向量，那么：

$$\mathbf{T} = \frac{\partial \mathbf{R}}{\partial \sigma_1} = \boldsymbol{\tau}, \quad \mathbf{B} = \frac{\partial \mathbf{R}}{\partial \sigma_2} = \mathbf{b}, \quad \mathbf{N} = \mathbf{B} \times \mathbf{T} = \mathbf{n}, \quad (1.3.5)$$

这是很显然的几何关系。

进而研究旋轉壳体的对称变形；变形时壳体上任一点的位移可写成：

$$\mathbf{U} = U \boldsymbol{\tau} + W \mathbf{n}, \quad (1.3.6)$$

式中 U, W (为 s 及 x 的函数，与 φ 无关) 是位移 \mathbf{U} 在 $\boldsymbol{\tau}, \mathbf{n}$ (或 \mathbf{T}, \mathbf{N}) 方向的分量。 \mathbf{U} 在 \mathbf{b} (或 \mathbf{B}) 方向的分量为零。

为了求得表明壳体变形情况的数值，同从前一样，必须先建立变形后壳体上的綫素 $d\sigma_*$ 的表达式。变形后 N 点的向徑为：

$$\mathbf{R}_* = \mathbf{R} + \mathbf{U}, \quad (1.3.7)$$

因之，利用(1.3.2)及偏导数公式(1.1.18)，求得：

$$\begin{aligned} d\mathbf{R}_* &= d\mathbf{R} + d\mathbf{U} = \boldsymbol{\tau} \left(1 + \frac{x}{R_1} \right) ds + \nu \mathbf{b} \left(1 + \frac{x}{R_2} \right) d\varphi + \\ &\quad + \mathbf{n} dx + \left(\frac{\partial U}{\partial x} \boldsymbol{\tau} + \frac{\partial W}{\partial x} \mathbf{n} \right) dx + \left[\left(\dot{U} + \frac{W}{R_1} \right) \boldsymbol{\tau} + \right. \\ &\quad \left. + \left(\dot{W} - \frac{U}{R_1} \right) \mathbf{n} \right] ds + (-U \sin \alpha + W \cos \alpha) \mathbf{b} d\varphi. \end{aligned}$$

引入符号：

$$\left. \begin{aligned} e_1 &= \frac{1}{1 + \frac{x}{R_1}} \left(\dot{U} + \frac{W}{R_1} \right), & e_2 &= \frac{-U \sin \alpha + W \cos \alpha}{\nu \left(1 + \frac{x}{R_2} \right)}, \\ e_3 &= \frac{\partial W}{\partial x}. \end{aligned} \right\} \quad (1.3.8)$$

利用(1.3.4)，得到：

$$\begin{aligned} d\mathbf{R}_* &= (1 + e_1) \boldsymbol{\tau} d\sigma_1 + (1 + e_2) \mathbf{b} d\sigma_2 + (1 + e_3) \mathbf{n} dx + \\ &\quad + \frac{\partial U}{\partial x} \boldsymbol{\tau} dx + \frac{1}{1 + \frac{x}{R_1}} \left(\dot{W} - \frac{U}{R_1} \right) \mathbf{n} d\sigma_1. \end{aligned} \quad (1.3.9)$$